

## بازسازی پالینولوژیک ۱۷۰۰ سال تغییرات پوشش گیاهی در اطراف ارومیه:

### نقش اقلیم و انسان

عايشه مكاريزاده - کارشناس ارشد جنگل داری، دانشگاه ارومیه، ارومیه، ایران

الیاس رمضانی \* - استادیار گروه جنگل داری دانشکده منابع طبیعی دانشگاه ارومیه، ارومیه

علیرضا نقی نژاد - دانشیار گروه زیست‌شناسی دانشکده علوم پایه دانشگاه مازندران، بابلسر، ایران

هانس یوستن - استاد گروه پالئوکلولوژی و مطالعات توربزار انتیتو گیاه‌شناسی و لنداکسیپ اکولوژی دانشگاه گرافسواالد، آلمان

پذیرش مقاله: ۱۳۹۴/۱۱/۲۰ تأیید نهایی: ۱۳۹۵/۰۳/۵

### چکیده

در این پژوهش تاریخچه پوشش گیاهی، تغییرات آب و هوایی، و فعالیت‌های انسان در اطراف ارومیه در اوایل هولوسن با بررسی گرده‌شناختی مغزه‌ای ۲/۶ متری از مانداب گانلی‌گول بازسازی شد. نسبت گرده‌ای C/A (اسفناجیان / درمنه) برای برآورد دوره‌های خشک و مرطوب منطقه به کار گرفته شد. به سبب پایین‌بودن نسبی شاخص C/A (۰-۱)، پوشش گیاهی نیمه‌استپی و آب و هوایی به نسبت مرطوب برای بازه زمانی ۱۱۴۵ calBP - ۱۶۷۰ پیشنهاد می‌شود؛ هرچند نشانه‌هایی از افزایش فعالیت‌های کشاورزی و چرای دام نیز دیده می‌شود. همچنین، جای گزینی گندمیان، لوبی، و نی تویی با خانواده جگن تغییر ترکیب پوشش گیاهی سطح مانداب و پایین رفتن سطح آب آن را نشان می‌دهد. افزایش نسبت C/A تا ۶ و ناپدیدشدن گرده درختان نشانه افزایش نسبی خشکی در منطقه در بازه زمانی ۵۹۰ - ۱۱۴۵ calBP است. گسترش فعالیت انسان در منطقه از فراوانی بیشتر گرده‌های گرد، بارهنگ برگ‌نیزه‌ای، و گل‌گندم زرد در دوره ۱۸۰ calBP دریافت می‌شود. در این دوره نشانه‌هایی از بالاً‌آمدن سطح آب مانداب دیده شد. کاهش چشم‌گیر گرده درمنه و افزایش درخور توجه اسفناجیان (C/A=۳-۷) و بارهنج برگ‌نیزه‌ای و فراوانی نسی گرده‌های پیرگیاه و Lactuceae ویژگی بارز حدود دویست سال گذشته است و همگی بر گسترش پوشش گیاهی استپی-بیانی با چیرگی اسفناجیان و افزایش دخالت‌های انسان در منطقه دلالت دارد.

کلیدواژه‌ها: آب و هوای گذشته، تاریخچه پوشش گیاهی، فعالیت کشاورزی، نسبت گرده‌ای، هولوسن.

### مقدمه

پوشش گیاهی هر منطقه ارتباطی تنگانگ با آب و هوای و فعالیت‌های انسان دارد. بررسی تغییرات درازمدت پوشش گیاهی امکان درک تغییرات آب و هوای گذشته و نقش و دخالت انسان را بر اکوسیستم‌های طبیعی فراهم می‌کند (فگری و ایورسن، ۱۹۸۹؛ مور و همکاران، ۱۹۹۱). مهم‌ترین ابزار برای بازسازی اقلیم و تاریخچه پوشش گیاهی گرده‌شناختی (پالینولوژی) است. ویژگی‌های ریخت‌شناختی دیواره گرده (اگزین)، مقاومت بسیار زیاد ترکیبات آلی تشکیل دهنده آن،

\* E-mail: e.ramezani@urmia.ac.ir

نویسنده مسئول: ۰۹۱۴۳۸۸۴۱۹۴

بهویژه اسپوروپولنین، در برابر تخریب شیمیایی و اسید، و همچنین فراوانی گرده‌ها کاربرد گسترده‌این ذرات میکروسوکوپی را در پژوهش‌های آرایه‌شناسی (تاكسونومی)، ژنتیک و تکامل، تغییرات اقلیمی، باستان‌شناسی، زمین‌شناسی، آلرژی‌شناسی، و علوم قضایی به همراه داشته است (مور و همکاران، ۱۹۹۱).

پژوهش‌های گرده‌شناسی کواترنری در ایران در سال‌های اولیه دهه ۱۹۶۰ به وسیله هربرت رایت با مغزه‌برداری از تنه‌شته‌های دریاچه زریبار (زریوار) در کردستان و چند دریاچه دیگر در غرب کشور آغاز شد (ون زایست و رایت، ۱۹۶۳؛ ون زایست و بوتما، ۱۹۷۷). این پژوهش‌ها نشان داد که در اواخر پلیستوسن هوا سردر و خشک‌تر از امروز بوده است و درمنه (*Artemisia* spp.) و گیاهان خانواده اسفناج (Chenopodiaceae) در پوشش گیاهی منطقه چیرگی داشته‌اند. با آغاز هولوسن و گرم و مرطوب‌ترشدن هوا، گندمیان (Poaceae) جای گزین گیاهان پیشین شدند و درختان بلوط (Quercus)، افرا (Acer)، و پسته (Pistacia) به تدریج به منطقه مهاجرت کردند. از میانه‌های هولوسن (۵۵۰۰ – ۶۰۰۰ سال گذشته) رژیم آب‌وهوایی مشابه با شرایط امروزی و پوشش جنگلی با چیرگی گونه‌های مختلف بلوط در منطقه زاگرس مستقر شد (ون زایست، ۲۰۰۸).

پژوهش‌های مشابهی در شمال غرب ایران بر روی تنه‌شته‌های دریاچه ارومیه انجام شده و تاریخچه پوشش گیاهی و تغییرات اقلیمی منطقه در اواخر کواترنری بازسازی شده است. بوتما (۱۹۸۶) در بررسی گرده‌شناسختی دریاچه ارومیه تغییرات پوشش گیاهی شمال غرب ایران را در اواخر پلیستوسن بازسازی کرد. البته، در این پژوهش، سن سنجی پدیده‌های زیستی گذشته از دقت کافی برخوردار نبود. در کهن‌ترین رکورد گرده‌ای ایران تا زمان حال، جمالی و همکاران با بررسی دو مغزه صد متري از تنه‌شته‌های دریاچه ارومیه تغییرات دیرینه‌بوم‌شناسختی (پالئوکلولوژیک) و دیرین آب‌وهوایی شمال غرب ایران را از حدود دویست‌هزار سال گذشته تا اوایل هولوسن نشان دادند (جمالی و همکاران، ۲۰۰۸). بر اساس این پژوهش، آب‌وهوایی خشک در بیشتر دوره‌های زمانی مورد بررسی در منطقه حکم‌فرما بوده است. در پژوهشی جدید، طالبی و همکاران به بررسی دیرینه‌بوم‌شناسختی جنوب غربی دریاچه ارومیه در اواخر هولوسن پرداختند. این پژوهش نشان می‌دهد شرایط بهنسبت خشک و پوشش گیاهی استپی حاکم بر منطقه در بازه زمانی<sup>۱</sup> BP – ۱۵۰۰ – ۲۵۵۰ با بهبود شرایط آب‌وهوایی و کاهش فعالیت‌های کشاورزی در BP – ۱۵۰۰ – ۵۵۰ به گسترش نسیمی جنگل‌های بلوط در منطقه منجر شد. در عصر یخ‌بندان کوچک (BP – ۱۵۰ – ۴۵۰)، با کاهش بلوط و افزایش درمنه، شرایط سرد و خشک در منطقه دوباره حکم‌فرما شد. فعالیت‌های شدید انسان در چند صد سال اخیر موجب کاهش شدید بلوط و گسترش پوشش گیاهی استپی بیابانی در منطقه شده است (طالبی و همکاران، ۲۰۱۶). در بررسی گرده‌شناسختی تنه‌شته‌های دریاچه نئور در استان اردبیل، تغییرات پوشش گیاهی و دوره‌های رطوبتی اواخر پلیستوسن و اوایل هولوسن در منطقه بازسازی شد (عزیزی و همکاران، ۱۳۹۲). در پژوهشی دیگر، تاریخچه شش‌هزار و پانصد ساله تغییرات محیطی از میانه‌ها تا اواخر هولوسن با استفاده از داده‌های گرده و بقایای قاب‌بالان فسیل بررسی شد (پونل و همکاران، ۲۰۱۳). جمالی و همکاران تغییرات پوشش گیاهی و آب‌وهوایی و همچنین رویدادهای تاریخی کوه‌های سهند در آذربایجان

۱. همه سن‌های ارائه شده در این مطالعه کالیبره شده با تقویمی است: cal. yr BP

شرقی را با بررسی گردهشناختی تنه‌هشته‌های دریاچه آمالو در ۳۷۰۰ سال گذشته بررسی کردند. بر اساس گردههای بیانگر فعالیت انسان در این پژوهش، افزایش فعالیت‌های کشاورزی در دو دوره ثبت شد: ۱. امپراتوری هخامنشی؛ ۲. از فروپاشی سلسله صفوی تا زمان حال (جمالی و همکاران، ۲۰۰۹a).

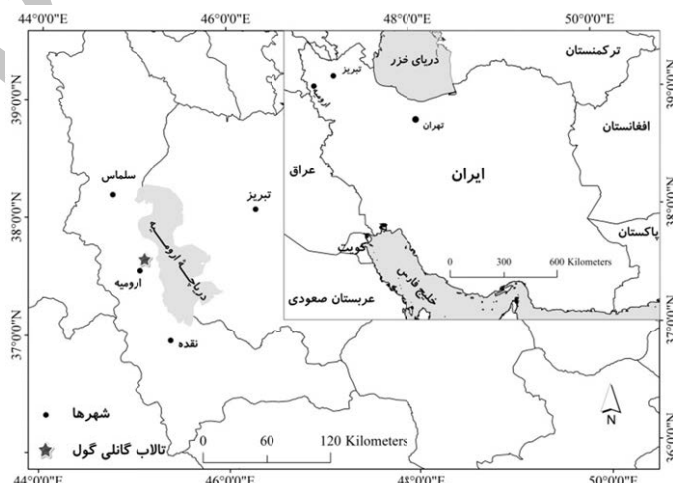
درک صحیح از تغییرات پوشش گیاهی، آب‌وهوا، و نقش انسان بر اکوسیستم در شمال غرب ایران در اواخر هولوسن مستلزم اجرای پژوهش‌های گردهشناستی فراوان با دقت زمانی و مکانی بالاست. پژوهش پیش رو با هدف درک بهتر و کامل‌تری از روند تغییرات پوشش گیاهی، آب‌وهوا، نقش انسان بر اکوسیستم، و کاربری زمین در اطراف ارومیه در اواخر هولوسن انجام شده است.

## موارد و روش‌ها

### منطقه مورد مطالعه

منطقه مورد بررسی در این پژوهش مانداب گانلی‌گول (مساحت حدود سه هکتار؛ ارتفاع ۱۳۰۸ متر از سطح دریا،  $36^{\circ} 47'$  عرض شمالی،  $43^{\circ} 43' 45^{\circ} 06'$  طول شرقی) است. منطقه مورد مطالعه در نزدیکی روستاهای توپراق‌قلعه، تکالو، و گلمرز در شرق محور ارتباطی ارومیه به جاده شهید کلانتری در فاصله سه چهار کیلومتری شهر ارومیه قرار دارد (شکل ۱). بخش مرکزی مانداب دریاچه‌ای نسبتاً کم عمق (۲ - ۳ متر) و حاشیه آن تورب‌زاری متشكل از لایه‌های مواد آلی (تورب) همراه با رسوبات معدنی به ضخامت چند متر است.

بر اساس داده‌های ۵۴ ساله ایستگاه هواشناسی ارومیه، میانگین بارش و دمای سالانه در منطقه مورد مطالعه به ترتیب  $341$  میلی‌متر و  $11.5$  درجه سانتی‌گراد است. در سیستم طبقه‌بندی بیوکلیماتیک جهانی، رژیم آب‌وهوای منطقه مدیترانه‌ای با باران‌های فصلی است (جمالی و همکاران، ۲۰۰۸).



شکل ۱. موقعیت جغرافیایی دریاچه ارومیه و مانداب گانلی‌گول (★) در شمال غرب ایران

وجود گسل‌های فعال و فعالیت‌های آتش‌فشاری در فلات آذربایجان سبب گوناگونی سازنده‌های زمین‌شناسی پالئوزوئیک در شرق، غرب، و جنوب دریاچه ارومیه شده است. همچنین، پادگانه‌های آبرفتی جوان و مخروط‌افکنه‌های آبرفتی کواترنر در کرانه غربی دریاچه و در نزدیکی شهر ارومیه (منطقه مورد مطالعه) گسترش دارند (شاھحسینی، ۱۳۸۲: ۹ - ۱۰). خاک منطقه از تنه‌شته‌های آبرفتی با بافت سیلتی لومی تا سیلتی رسی و رسی لومی به رنگ قهوه‌ای تشکیل شده است. در مناطقی با زهکشی ضعیف، پوشش گیاهی با چیرگی گیاهان خانواده جگن (Cyperaceae) و نی (Phragmites australis) گسترش دارد.

در تقسیم‌بندی جوامع گیاهی ایران، جامعه درمنه- گون حدود شصت درصد گستره ایران و پنجاه درصد گستره استان آذربایجان غربی را شامل می‌شود. در استپ‌های مرتفع شمال غرب ایران و شرق آناتولی، گیاه درمنه معطر (Artemisia fragrans) از گونه‌های چیره و اصلی تشکیل‌دهنده پوشش گیاهی است (ون زایست و بوتما، ۱۹۷۷). در بخش‌های شرقی دریاچه ارومیه، پوشش گیاهی متنوع از جوامع شورپسند (halophytic) یا مقاوم به شوری (halotolerant) و اغلب شامل گیاهان خانواده اسفناج و گندمیان شورپسند تشکیل شده است (طالبی و همکاران، ۲۰۱۶). مانداب گانلی‌گول، به دلیل برخورداری از شرایط اکلولوژیک ویژه، رویشگاه پوشش گیاهی رطوبت‌پسند خاص خود است که آن را از اکوسیستم‌های پیرامونی به کلی تمایز می‌کند. در اطراف مانداب، زمین‌های کشاورزی و باغ‌های میوه دیده می‌شود. پوشش گیاهی سطح و حاشیه مانداب گانلی‌گول در بهار ۱۳۹۱ و تابستان ۱۳۹۲ بررسی شد. برای نام‌گذاری گیاهان از سایت The Plant list (۲۰۱۵) استفاده شد.

## مغزه‌برداری و آماده‌سازی نمونه‌های پالینولوژیک

مغزه‌ای به طول پنج متر در فروردین ۱۳۹۲ با کمک دستگاه مغزه‌بردار مدل روسی از بخش شمالی مانداب گانلی‌گول برداشته شد. در این مطالعه، نتایج بررسی ۲/۶ متر بالایی مغزه (با نام اختصاری GNL) ارائه می‌شود. نمونه‌های پالینولوژیک به حجم ۵/۰ سانتی‌متر مکعب در هر عمق با فاصله ده سانتی‌متر از هم در طول مغزه مورد بررسی برداشته شد. آماده‌سازی نمونه‌ها به روش استاندارد پیشنهادی فگری و ایورسن (۱۹۸۹) در دانشگاه گرایفسوالد آلمان انجام شد و به ترتیب شامل تیمار اسید کلریدریک و هیدروکسید پتاسیم، الک (با مش ۱۲۰ میکرومتر)، تیمار اسید هیدروفلوریک، استولیز، و قراردادن نمونه‌ها در روغن سیلیکون (با ویسکوزیتّه ۲۰۰۰ سنتی‌استوک) است (مور و همکاران، ۱۹۹۱).

## شمارش و ترسیم نمودار گرده

برای آنالیز گرده، از هر عمق، اسلایدهای میکروسکوپی تهیه و محتواهای گرده‌ای آن‌ها شمارش شد. شمارش گرده‌ها با میکروسکوپ نوری Olympus مدل CX31 با بزرگ‌نمایی ۴۰۰ یا ۱۰۰۰ (در مورد گرده‌هایی که شناسایی آن‌ها با بزرگ‌نمایی‌های کمتر مشکل یا ناممکن بود) انجام شد. با وجود شرایط نسبتاً نامناسب حفظ گرده در سایت مورد بررسی- که در بیشتر توربازارهای مناطق خشک و نیمه‌خشک ایران حاکم است- در این پژوهش برای هر عمق به طور میانگین ۱۸۵ (بین ۱۰۲ تا ۳۸۴) گرده شمرده شد. این گرده‌ها- که از گیاهان روییده بر خاک معدنی (گیاهان غیرآبرزی) به وجود

آمده‌اند. در پژوهش‌های معمول گرده‌شناسی اساس محاسبه درصد فراوانی پالینومورف‌های گرده‌ای و غیرگرده‌ای قرار می‌گیرند. به منظور متمایز کردن تیپ‌های گرده‌ای از آرایه‌های گیاهی، تیپ‌های ریخت‌شناختی (مورفولوژیک) گرده در متن با SMALL CAPITAL نشان داده شده‌اند (یوستن و د کلرک، ۲۰۰۲). برای شناسایی گرده‌ها، از فلورهای گرده‌ای مور و همکاران (۱۹۹۱) و بویگ (۲۰۰۴) و همچنین اسلامیدهای میکروسکوپی مرجع (reference slides) (دانشکده منابع طبیعی دانشگاه ارومیه استفاده شد. محاسبات اولیه داده‌های گرده‌شناسی در محیط اکسل ۲۰۰۳ و نمایش داده‌های گرده‌شناسی و تهیه نمودار گرده با نرم‌افزار تیلیا نسخه ۱,۷,۱۶ (گریم، ۲۰۱۱) انجام شد.

### شاخص C/A

در گرده‌شناسی، برای تفسیر و تحلیل نمودارهای گرده<sup>۱</sup> در ارتباط با اقلیم گذشته، می‌توان از شاخص‌های گرده‌ای استفاده کرد. این شاخص از نسبت درصد فراوانی گرده‌های گیاهی مهم تشکیل‌دهنده اجتماعات گرده‌ای فسیل به دست می‌آید (ال-مسلمانی، ۱۹۹۰). در این پژوهش از شاخص C/A (اسفناجیان به درمنه) برای بازسازی کیفی دوره‌های مرتبط و خشک حاکم بر منطقه در ۱۷۰۰ سال گذشته استفاده شد. گیاهان خانواده اسفناج و جنس درمنه گرده فراوانی تولید می‌کنند و در رکوردهای گرده‌ای مناطق خشک و نیمه‌خشک سهم چشم‌گیری دارند. بنابراین، افزایش گرده‌های اسفناجیان نسبت به درمنه را می‌توان نشانه‌ای از گسترش شرایط خشک‌تر محیطی دانست (ال-مسلمانی، ۱۹۹۰؛ زهری، ۱۹۷۳؛ ون زایست و بوتما، ۱۹۷۷). نسبت‌های گرده‌ای مشابه در بسیاری از پژوهش‌های گرده‌شناختی، با هدف بازسازی کیفی تغییرات اقلیمی اواخر کواترنری، در خاورمیانه، آسیای میانه، و چین به کار گرفته شده است (عزیزی و همکاران، ۱۳۹۲؛ ال-مسلمانی، ۱۹۹۰؛ زائو و همکاران، ۲۰۱۲). استفاده از این نسبت در مناطقی با بارش کمتر از ۴۵۰ - ۵۰۰ میلی‌متر مناطق استپی، استپی-بیابانی، و بیابانی توصیه می‌شود (ال-مسلمانی، ۱۹۹۰؛ هرتزشو، ۲۰۰۷؛ زائو و همکاران، ۲۰۱۲).

### تعیین سن رادیوکربن

برای سن‌سنجی نمودار گرده در این پژوهش، از دو بخش مغزه مورد بررسی نمونه رسوی و تکه‌ای چوب جمع‌آوری شد و برای تعیین سن به روش رادیوکربن (AMS: Accelerator Mass Spectrometry) (به آزمایشگاه رادیوکربن AMS در گروه علوم زمین دانشگاه ملی کشور تایوان فرستاده شد.

1. pollen diagrams

## یافته‌های پژوهش

### پوشش گیاهی مانداب گانلی گول و کناره‌های آن

در سطح مانداب ۳۵ آرایه (تاسکسون) گیاهی متعلق به نوزده خانواده شناسایی شد. خانواده جگن (با ۱۴ گونه و ۳۷/۸ درصد فراوانی) بیشترین تعداد گونه را به خود اختصاص داد. پوشش گیاهی چیره سطح مانداب در بخش شمالی نی‌توبی (*T. latifolia* L.), لویی برگ‌باریک (*Sparganium erectum* L.)، لویی برگ‌باریک (*Typha laxmannii* Lepech.) و توک (لویی) (*Potamogeton* Cav.) است. همچنین، گونه اوواش (*Phragmites australis*) بخش بهنسبت وسیعی از سطح مانداب را می‌پوشاند. از دیگر گونه‌های مهم ولی با فراوانی و انتشار کمتر می‌توان عدسک آبی (Lemna minor L.), بارهنگ برگ‌نیزه‌ای (*Plantago lanceolata* L.), دو گونه اویارسلام (*J. gerardii*)، سازوی شلاقی (*Juncus inflexus* L.), سازوی شور (*C. longus* L.) و *Cyperus fuscus* L.) (*Loisel.*) را نام برد. در حاشیه مانداب هم ۷۹ آرایه گیاهی متعلق به ۲۱ خانواده شناسایی شد که خانواده‌های گندمیان (۱۸ گونه؛ ۲۲/۸ درصد)، کاسنی (Asteraceae) (۱۶ گونه؛ ۲۰/۲ درصد)، و نیامداران (Fabaceae) (۱۲ گونه؛ ۱۵/۲ درصد) بیشترین فراوانی را به خود اختصاص دادند. گیاه *Acorus calamus* L. برای اولین بار در این سایت از آذربایجان غربی و دومین بار (قلی‌پور و سنبلی، ۱۳۹۲) از فلور ایران گزارش می‌شود.

### چینه‌شناسی مغزه گانلی گول

جدول ۱ ویژگی‌های چینه‌شناختی مغزه مورد بررسی را نشان می‌دهد.

### نتایج تعیین سن رادیوکربن

جدول ۲ نتیجه تعیین سن دو بخش مغزه GNL به روش رادیوکربن را نشان می‌دهد. برای کالیبره کردن سن رادیوکربن از نرم‌افزار بیکن <sup>۱</sup>۲,۲ (بلاو و کریستین، ۲۰۱۱) و مجموعه دادهای intcal13 (رایمرو همکاران، ۲۰۱۳) استفاده شد.

جدول ۱. ویژگی‌های چینه‌شناختی مغزه گانلی گول

عمق (سانتی‌متر)	توصیف چینه‌ای
۱۲۰ - ۱	پیت قهوه‌ای رنگ با درجه تجزیه‌شدگی کم تا متوسط به همراه مقدار زیادی ریشه و ساقه گیاهان
۱۲۵ - ۱۲۰	رسوبات دریچه‌ای به همراه رس
۲۱۵ - ۱۲۵	پیت قهوه‌ای رنگ با درجه تجزیه‌شدگی کم تا متوسط (بقایای گیاهی قابل مشاهده) همراه با رسوبات رسی به رنگ خاکستری مایل به قهوه‌ای
۲۶۰ - ۲۱۵	پیت قهوه‌ای تیره با درجه تجزیه‌شدگی زیاد به همراه رگه‌های رس و نسبت به لایه‌های بالاتر

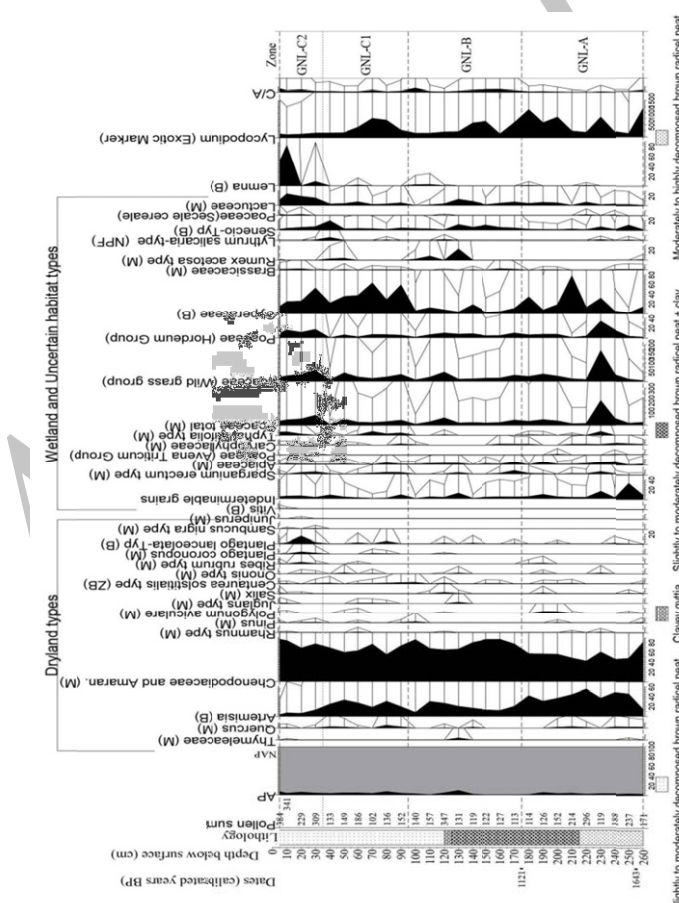
جدول ۲. عمق، مواد، و نتیجه به دست آمده از تعیین سن با روش AMS برای تورب زار گانلی گول

کد نمونه در آزمایشگاه رادیوکربن	عمق (سانتی متر)	مواد مورد استفاده برای تغییب سن	سن رادیو کربن (BP*)	(cal. yr BP) سن کالیبره شده
NTUAMS- 1775	۱۷۶ - ۱۷۴	Bulk sediment sample	$۲۱ \pm ۲۷۶۸$	۱۱۲۱
NTUAMS- 1452	۲۵۶ - ۲۵۴	چوب	$۱۷ \pm ۲۴۲۴$	۱۶۴۲

\* مخفف پیش از زمان حال (منظور پیش از سال ۱۹۵۰ است).

نمودار گرده و توصیف آن

نیودار درصد گرده گانلی گول (شکل ۲) به دو گروه Dryland types و Wetland and uncertain habitat types تقسیم شد: گروه اول، گرده‌های درختی و درختچه‌ای (AP) و غیردرختی (NAP) را شامل می‌شود. گرده‌های این گروه را می‌توان به گیاهانی نسبت داد که معمولاً بر روی خاک معدنی می‌رویند و معمولاً بیانگر وضعیت پوشش گیاهی و شرایط آب و هوایی منطقه‌ای اند.



شکل ۲. نمودار درصد گرده مانداب گانلی گول. مقادیر نسبی گرده به صورت درصد (منحنی های بسته سیاه) و با در بر ایر پز رگ نمایی (هاشور سفید) نمایش داده شده است

در این پژوهش، مقدار گرده‌های این گروه مبنای محاسبات درصد فراوانی گرده‌ها (pollen sum) قرار گرفته است. در گروه دوم گرده‌های گیاهان آبزی یا سطح و حاشیه توربزار نشان داده شده که حضور آن‌ها در نمودارهای گرده نمایانگر شرایط اکولوژیک محلی خود مانداب است. البته، در همین بخش، گرده‌های گروه دیگری از گیاهان قرار داده شده (Uncertain habitat types) که شرایط اکولوژیک و رویشگاهی گیاهان مادری آن‌ها برای ما نامشخص است (همه یا چند جنس یک خانواده گیاهی که هر یک به دلیل سرشت اکولوژیک خاص خود در شرایط رویشگاهی مختلفی روییده‌اند، ولی تفکیک گرده‌های آن‌ها با کمک میکروسکوپ نوری امکان‌پذیر نیست).

بر اساس تغییرات عمدۀ در منحنی‌های گرده‌های اصلی (با فراوانی زیاد)، نمودار گرده به سه زون اجتماع گرده‌ای و یک زیرزون تفکیک شد؛ به ترتیب از پایین‌ترین عمق به ترتیب تغییرات مشاهده شده می‌پردازیم. در سراسر رکورد گرده‌ای گانلی‌گول، منحنی مریوط به گرده‌های درختی و درختچه‌ای مقدار بسیار ناچیزی را نشان می‌دهد. در حالی که منحنی نشان‌دهنده تغییرات فراوانی گرده‌های غیردرختی همواره بین مقدار چشم‌گیر ۸۰ تا ۱۰۰ درصد در نوسان و به طور عمدۀ شامل اسفناجیان و درمنه است (شکل ۲).

### زون اجتماع گرده‌ای GNL-A (عمق ۱۷۵ - ۲۶۰ سانتی‌متر؛ BP ۱۱۴۵ - ۱۶۷۰)

در این اجتماع گرده‌ای، درمنه (ARTEMISIA) با مقدار تا ۵۵ درصد در میانه زون به بیشینه فراوانی خود در کل رکورد گرده‌ای می‌رسد. اسفناجیان (CHENOPODIACEAE) هم از فراوانی بالا (۴۲ - ۸۱ درصد)، بهویژه در نمونه‌های پایینی و به سمت مرز بالایی زون، برخوردارند. از دیگر گرده‌ها در این زون به علف هفت‌بند (POLYGONUM AVICULARE)، گل‌گندم زرد (CENTAUREA SOLSTITIALIS-TYPE)، دافنه (THYMELEACEAE)، سیاه‌تنگرس (RHAMNUS)، بید (ONONIS)، خارخر (PINUS)، و کاج (POACEAE) اشاره کرد که همگی فراوانی بسیار اندکی دارند. در بین تیپ‌های گرده‌ای (SALIX)، گروه دوم، گرده دو خانواده گندمیان (CYPERACEAE) و جگن (POACEAE) به ترتیب با مقدار تا ۲۰۳ و ۷۹ درصد از بیشترین فراوانی برخوردارند. در بین گرده‌های گندمیان، WILD GRASS GROUP مهم‌ترین گروه از نظر فراوانی در این زون هستند که دارای ویژگی‌هایی هستند؛ از جمله: اندازه: ۳۷ میکرومتر؛ ترئینات سطح: اسکابریت<sup>۱</sup> (ترئینات ریز کوچک‌تر از ۱ میکرومتر) یا وروکیت<sup>۲</sup> (از گیل مانند)؛ قطر روزنه و هاله<sup>۳</sup> دور آن: کمتر از ۸ میکرومتر (خاکپور سیچ و همکاران، ۱۳۹۲). فراوانی گرده این گروه در میانه‌های زون تا ۱۶۸ درصد افزایش می‌یابد. در این زون، HORDEUM GROUP گروهی دیگر از گندمیان را (اندازه: ۳۲ - ۴۵ میکرومتر؛ ترئینات سطح: اسکابریت) تشکیل می‌دهد که تا ۳۴ درصد در نیمه بالای زون افزایش می‌یابد. همچنین، نی‌تووی (TYPHA LATIFOLIA TYPE)، لوبی (SPARGANIUM ERECTUM TYPE)، چتریان (APIACEAE)، پیرگیاه (CARYOPHYLLACEAE)، خانواده میخک (LACTUCEAE) و قبیله SENECIO-TYPE از دیگر گرده‌های این زون هستند و از نظر فراوانی در جایگاه بعدی قرار می‌گیرند. شاخص گرده‌ای A/C در این زون اجتماع گرده‌ای بین ۰/۵ تا ۱ در نوسان است.

1. scabrate
2. verrucate
3. annulus

### زون اجتماع گردهای GNL-B (عمق ۹۵ - ۱۷۵ سانتی‌متر؛ BP ۵۹۰ - ۱۱۴۵)

گرده‌های درختی و درختچه‌ای در ابتدای این زون ناپدید شد و سپس در بخش میانی با فراوانی اندک مشاهده شد. در بین گرده‌های این گروه، می‌توان به سیاه‌تنگرس، دافنه، بید، خارخر، و کاج اشاره کرد. در بخش میانی این زون، اولین دانه‌های گرده گردو (JUGLANS TYPE) دیده شد. از ویژگی‌های مهم این زون فراوانی چشم‌گیر و چیرگی مطلق گرده است؛ چنان‌که با مقادیر ۶۶ - ۸۷ درصدی به بیشینهٔ فراوانی خود در سراسر رکوردهای می‌رسد. از طرف اسفناجیان است: هفت‌بند کاسته می‌شود و بر فراوانی تیپ گردهای بارهنگ برگ‌نیزه‌ای (PLANTAGO LANCEOLATA TYPE) تا حدودی افزوده می‌شود. گرده‌های دو خانواده گندمیان و جگن به ترتیب با حداکثر فراوانی ۶۱ و ۱۹ درصد مشاهده شد. تیپ گردهای ترشک‌باغی (RUMEX ACETOSA TYPE) برای نخستین بار در میانه‌های این زون دیده شد و در نمونه‌های بالایی تا ۲۳ درصد افزایش یافت. در میانه‌ها و اواخر این زون از فراوانی گرده خانواده میخک تا حدودی کاسته شد. شاخص C/A مقادیر بین ۳ تا ۶ را نشان داد.

### زون اجتماع گردهای GNL-C (از عمق ۹۵ سانتی‌متر تا سطح توربزار؛ از BP ۵۹۰ تا دورهٔ اخیر)

این اجتماع گردهای را می‌توان به دو زیرزون GNL-C1 و GNL-C2 تقسیم کرد. در زیرزون اجتماع گردهای GNL-C1 (عمق ۳۵ - ۹۵ سانتی‌متر؛ BP ۱۸۰ - ۵۹۰)، گرده‌های درختی و درختچه‌ای تغییر چندانی نسبت به زون پیشین نشان نداد. گرده‌های اسفناجیان کماکان با بیشترین فراوانی بین ۵۵ تا ۷۶ درصد در نوسان بود. گرده درمنه نیز با وجود فراوانی ۳۴ درصدی به سمت مرز بالایی زون رو به کاهش گذاشت. در این زیرزون تیپ گردهای گل‌گندم زرد با اندکی افزایش نسبت به زون پیشین منحنی تقریباً پیوسته‌ای را تشکیل داد. در بین گرده‌های گیاهان سطح مانداب گرده خانواده جگن با افزایش چشم‌گیر تا ۶۴ درصد افزایش و در ادامه به تدریج کاهش یافت. از دیگر ویژگی‌های این بخش از نمودار گرده حضور تقریباً پیوسته تیپ‌های گردهای نی‌توبی و لوبی و نیز افزایش نسبی گرده خون‌فام (LYTHRUM SALICARIA) در بخش بالایی است. در بین گروه تیپ‌های گردهای با رویشگاه نامعلوم پیرگیاه یک پیشینه ۱۸ درصدی را نزدیک به مرز بالایی زیرزون نشان داد. مقدار شاخص C/A بین ۲ تا ۳/۵ است.

از ویژگی‌های زیرزون اجتماع گردهای GNL-C2 (عمق ۳۵ سانتی‌متر تا سطح توربزار؛ از BP ۱۸۰ تا کنون) حضور تک‌گرده‌های گالش‌انگور (RIBES RUBRUM-TYPE)، ارس (JUNIPERUS)، گز (TAMARIX)، آقطی‌سیاه (SAMBUCUS NIGRA-TYPE)، و مو (VITIS) است. گرده دافنه و بید که در زیرزون قبلی ناپدید شده بودند در این زیرزون با فراوانی کم حضور دارند. در بین گرده‌های غیردرختی، اسفناجیان افزایش نسبی را در مقایسه با زیرزون پیشین نشان می‌دهد؛ در حالی که درمنه به طور چشم‌گیری کاهش یافته و در نمونه‌های بالایی به کمترین مقدار خود (سه درصد) در کل رکورد گردهای می‌رسد. گرده‌های بارهنگ برگ‌نیزه‌ای، با بیشینهٔ پانزده درصد در میانهٔ زیرزون، و بارهنگ پاکلاغی (PLANTAGO CORONOPS) منحنی‌های پیوسته‌ای را ایجاد می‌کنند. در بین گرده گیاهان سطح مانداب، گرده

خانواده جگن در نیمة پایینی زیرزون تا ۵۳ درصد افزایش یافت، ولی پس از آن روندی کاهشی را نشان داد. ویژگی مهم دیگر این زیرزون افزایش گرده عدسک آبی (LEMNA) تا ۸۴ درصد در نیمة بالایی و نزدیک به سطح توربزار است. از گروه گرده‌های گیاهان با رویشگاه نامعلوم، گندمیان، با افزایش نسبی، مقادیر ۳۵ تا ۸۳ درصد را نشان داد. منحنی فراوانی گرده قبیله LACTUCEAE روند افزایشی چشم‌گیری را به سمت نمونه‌های بالایی زیرزون نشان داد و در نزدیکی مرز بالایی زیرزون به ۲۴ درصد رسید. مقدار شاخص C/A با افزایش نسبی بین ۳ تا ۷ متغیر است.

## بحث و نتیجه‌گیری

در پژوهش‌های گرده‌شناسی منطقه زاگرس- که برای برآورد دوره‌های خشک و مرطوب گذشته از نسبت گرده‌ای C/A استفاده می‌شود- توجه به نکات زیر مهم به نظر می‌رسد. بی‌گمان، نیازهای اکولوژیک اعضای گیاهی دو آرایه اسفناجیان و درمنه بسیار گوناگون و گسترده است. درمنه‌ها از گونه‌های بسیار خشکی‌پسند (مانند *Artemisia sieberi* A. *austriaca* و *A. persica* *A. haussknechtii* (مانند *A. diffusa* و *turanica* (A. *melanolepis*)، و حتی رودرال یا تخریب‌دوست (مانند *A. annua*) تشکیل شده‌اند (مظفریان، ۱۳۸۷؛ مظفریان، مکاتبه شخصی، ۲۰۱۵). همچنین، در بین گیاهان تیره اسفناج آشکارا گوناگونی اکولوژیک و رویشگاهی وسیعی دیده می‌شود؛ چنان‌که طیفی از جنس‌های آبدوست و شورپسند (مانند *Salicornia*) تا گونه‌های خشکی‌پسند (مانند برخی از گونه‌های *Anabasis* و *Salsola*) یا حتی تخریب‌دوست (مثلًاً بعضی از گونه‌های *Chenopodium* و *Atriplex*) در این خانواده دیده می‌شود (آخانی و قربانی، ۱۹۹۳؛ آخانی، ۲۰۰۴). بنابراین، پایین‌آمدن سطح آب دریاچه‌شور و بزرگ ارومیه می‌تواند عاملی مهم در گسترش زمین‌های شور حاشیه دریاچه و افزایش تنوع و فراوانی گونه‌های هالوفیت در تیره اسفناجیان باشد که خود موجب افزایش نسبت C/A خواهد شد. به عبارت دیگر، همیشه نمی‌توان افزایش نسبت گرده‌ای فوق را در شمال غرب ایران به گسترش گونه‌های خشکی‌پسند اسفناجیان نسبت داد. با وجود این، افزایش گرده‌های اسفناجیان، حتی با منشأ گونه‌های هالوفیت این خانواده، را هم می‌توان ناشی از تغییر اقلیم به سمت شرایط خشک دانست، که خود عاملی مهم در کاهش سطح تراز آب دریاچه ارومیه است. از طرف دیگر، با توجه به اینکه شمال غرب ایران و بخش‌های وسیعی از زاگرس پوشیده از درمنه‌های کوهسری است- و نیاز آبی و رطوبتی بیشتری در مقایسه با گونه‌های خشکی‌پسند اشاره شده در بالا دارند (مظفریان، مکاتبه شخصی، ۲۰۱۵)- استفاده از نسبت گرده‌ای مورد نظر منطقی به نظر می‌رسد.

بررسی نمودار گرده گانلی گول نشان می‌دهد که گیاهان مادری گرده‌های درمنه و اسفناجیان تقریباً در کل دوره زمانی مورد بررسی جزو عناصر رویشی مهم در منطقه بوده‌اند. با وجود آنکه این گیاهان شاخص پوشش گیاهی استپی و استپی بیابانی در فلات مرکزی ایران به شمار می‌روند (زهري، ۱۹۷۳؛ ون زایست و بوتما، ۱۹۷۷)، در مقایسه با بسیاری از گیاهان متدائل دیگر در این مناطق، گرده بیشتری تولید می‌کنند. بنابراین، در باران گرده‌ای هم سهم بیشتری دارند (ال-موسلمانی، ۱۹۹۰).

فراوانی چشم‌گیر گرده درمنه و اسفناجیان را در اجتماع گرده‌ای GNL-A (بازه زمانی ۱۱۴۵ BP - ۱۶۷۰) می‌توان

نشانه‌ای از گسترش پوشش گیاهی نیمه‌استپی با چیرگی درمنه و حضور جوامع گیاهی شورپسند خانواده اسفناج در منطقه دانست. پایین‌بودن شاخص C/A (۰/۵ - ۱) در این بازه زمانی می‌تواند بیانگر دوره‌ای به نسبت مرطوب باشد که در پژوهش‌های گرده‌شناختی مشابه در جنوب غربی دریاچه ارومیه (طالبی و همکاران، ۲۰۱۶)، دریاچه نار در ترکیه (وودبریج و روپرتز، ۲۰۱۱)، و بخش مرکزی منطقه هیرکانی در شمال ایران (خاکپور سیچ و همکاران، ۱۳۹۲) هم گزارش شده است؛ هرچند جمالی و همکاران (۲۰۰۹a) افزایش گرده درمنه در رکورد گرده‌ای آملو در آذربایجان شرقی را به افزایش فعالیت‌های کشاورزی و چرای دام در دوره ساسانیان نسبت می‌دهند. جای‌گزینی گرده‌های گندمیان، لویی، و نی‌توپی- که همگی از فراوانی در خور توجهی در نیمة پایینی زون برخوردارند- به وسیله گرده‌های خانواده جگن در میانه زون نه تنها نشانه‌ای مهم از تغییر ترکیب پوشش گیاهی سطح مانداب به شمار می‌آید، بلکه به تغییر شرایط هیدرولوژیک این اکوسیستم آبی نیز اشاره می‌کند. همچنین، تغییر ویژگی‌های چینه‌شناختی مغزه مورد بررسی در همین بخش، یعنی ورود یا افزایش موادمعدنی در تنه‌هشته‌ها، بیانگر پایین‌رفتن سطح آب مانداب یا خشکی موقتی کناره‌های آن و گسترش گیاهان خانواده جگن در حاشیه مانداب گانلی‌گول است. در منطقه آملو نیز افزایش گرده گیاهان جگن نشان‌دهنده کاهش سطح آب و پیشروی گیاهان مادری این گرده‌ها به سمت داخل مانداب تفسیر شده است (جمالی و همکاران، ۲۰۰۹a).

در بازه زمانی BP ۵۹۰ - ۱۱۴۵ (اجتماع گرده‌ای GNL-B)، که افزایش چشم‌گیر گرده اسفناجیان و کاهش درمنه شاخص C/A را تا ۶ افزایش می‌دهد، و همچنین ناپدیدشدن گرده‌های درختی به‌ویژه در نیمة پایینی زون، نشان‌دهنده گسترش خشکی و سرمای هوا در منطقه است. ال- مسلمانی (۱۹۹۰) مقادیر بالاتر از ۴/۵ را برای شاخص C/A نشانه افزایش خشکی در منطقه غرب ایران می‌داند. این دوره هم‌زمان با پدیده آب‌وهوایی «بی‌نظمی اقلیمی سده‌های میانی»<sup>۱</sup> است که در برخی از مناطق با افزایش در خور توجه دما و خشک‌سالی‌های طولانی همراه بوده است؛ در حالی که مناطق دیگر شاهد بارندگی‌های شدید بوده‌اند (بردلی و همکاران، ۲۰۰۳). در پژوهش گرده‌شناختی جنوب غربی دریاچه ارومیه نیز یک دوره سرد و خشک برای دوره زمانی BP ۸۵۰ - ۱۱۰۰ برای منطقه پیشنهاد شده است (طالبی و همکاران، ۲۰۱۶). همچنین، روپرتز و همکاران (۲۰۱۲) افزایش خشکی و کاهش سطح آب دریاچه Iberian در غرب مدیترانه را در دوره بی‌نظمی اقلیمی مطرح کرده‌اند. در دریاچه مهارلو در جنوب غربی ایران نیز مقادیر ناچیز گرده‌های درختی و فراوانی اسفناجیان به شرایط اقلیمی بسیار خشک نسبت داده شد (جمالی و همکاران، ۲۰۰۹b). یافته‌های مربوط به دوره خشک و سرد حاکم بر بحرالمیت<sup>۲</sup> نیز، که با کاهش گرده درختان، افزایش اسفناجیان، و کاهش فعالیت انسانی همراه بوده، با نتایج رکورد گرده‌ای گانلی‌گول همخوانی دارد (نیمن و همکاران، ۲۰۰۷). بهبود نسبی شرایط محیطی از کاهش نسبت C/A و افزایش نسبی گرده‌های درختی و درختچه‌ای در میانه زون (۸۳۰ BP) درک می‌شود. از این زمان تا BP ۷۶۵ گرده‌های گردو و Secale cereale به همراه مقادیر زیاد گرده ترشک با غمی و افزایش نسبی گرده‌های بارهنگ برگ‌نیزه‌ای و گل‌گندم زرد نشانه‌هایی از فعالیت‌های کشاورزی و کاشت درختان میوه در منطقه است.

1. mediaeval climatic anomaly

2. Dead Sea

در بازه زمانی BP ۱۸۰ – ۵۹۰ (زیرزون GNL-C1)، فراوانی بیشتر گرده‌های گردو، بارهنگ برگنیزه‌ای، و گل‌گندم زرد به افزایش فعالیت انسان و تغییر پوشش گیاهی منطقه دلالت دارد. گیاهان مادری تیپ گل‌گندم زرد جزو پوشش گیاهی مزارع غلات‌اند. که به تازگی شخم خورده‌اند. یا فضاهای باز کنار جاده‌ها (جملای و همکاران، ۲۰۰۹a؛ ون زایست و بوتما، ۱۹۷۷). فراوانی گرده‌های گیاهان ماندابی در این دوره گسترش دوباره گیاهان خانواده جگن، لویی، و نی‌توبی را در حاشیه‌های کم‌عمق مانداب و کاهش سطح آب آن پیشنهاد می‌کند. در بازه زمانی cal. yr BP ۳۷۳ – ۲۰۲ (اعماق ۴۰ – ۶۵ سانتی‌متر) فراوانی گرده‌های خانواده جگن و لویی به تدریج کاهش می‌یابد؛ این موضوع احتمالاً بیانگر افزایش تدریجی سطح آب مانداب است. حضور گرده خون‌فام نیز شرایط مرطوب محلی را نشان می‌دهد.

کاهش چشم‌گیر گرده درمنه و فراوانی گرده اسفناجیان (افزایش شاخص C/A تا ۷)، تیپ گرده‌ای پیرگیاه، و قبیله Lactuceae از BP ۱۸۰ به این سو بیانگر گسترش پوشش گیاهی استپی - بیابانی با چیرگی اسفناجیان و افزایش خشکی در منطقه است. پژوهش دریاچه نار در ترکیه (وودبریج و روبرتز، ۲۰۱۱) نیز افزایش خشکی را در صد سال گذشته نشان می‌دهد. هرچند افزایش فعالیت‌های انسانی در منطقه در دهه‌های اخیر - که در این رکورد گرده‌ای با افزایش درخور توجه گرده بارهنگ برگنیزه‌ای استنباط می‌شود و در پژوهش‌های مشابه (مانند طالبی و همکاران، ۲۰۱۶) هم نشان داده شده است. بی‌گمان از عوامل اصلی تأثیرگذار بر ترکیب پوشش گیاهی و کاربری زمین در منطقه بوده است.

در این پژوهش دیرینه‌بوم‌شناختی و تاریخچه پوشش گیاهی اطراف ارومیه در اوخر هولوسن بازسازی شد و نقش تغییرات آب‌وهوایی و فعالیت‌های انسان بر پوشش گیاهی اکوسیستم ماندابی گانلی‌گول و اطراف آن بررسی شد. مساحت توربوزارها در سراسر جهان به دلیل تغییرات آب‌وهوای و فعالیت‌های انسان، همچون زهکشی این مناطق و تبدیل آن‌ها به زمین‌های کشاورزی، باغ، و مناطق مسکونی، رو به کاهش است. در مناطق خشک و نیمه‌خشک دنیا، مانند شمال غرب ایران، این پدیده روند بسیار سریع‌تری دارد که گواه آن خشک‌شدن بسیاری از مانداب‌های منطقه در چند سال اخیر و مهم‌تر از آن کاهش شدید مساحت دریاچه ارومیه است (طالبی و همکاران، ۲۰۱۶).

## سپاسگزاری

از آقایان فرزاد هادی و محمد مکاریزاده برای کمک در مغزه‌برداری و مهندس هادی بیگی (گروه چنگل‌داری دانشگاه ارومیه) برای تهیه نقشه منطقه مورد مطالعه بسیار سپاسگزاریم. همچنین، از همکاران دانشگاه گوتینگن آلمان، آقای Herman Behling، برای تأمین هزینه سن‌سنجی رادیوکربن مغره گانلی‌گول و آقای کمال الدین (سینا) علیزاده پروفسور برای مشورت علمی و پشتیبانی فنی در این پژوهش صمیمانه قدردانی می‌شود.

## منابع

- خاکپور سیچ، م؛ رمضانی، ا؛ ثیاب قدسی، ع؛ زارع، ح. و یوستن، ه (۱۳۹۲). بازسازی پالینولوژیک ۱۵۰۰ سال تاریخچه پوشش گیاهی ویسر در شمال ایران، رستنیها، ۱۴(۲): ۱۳۵ - ۱۴۸.
- شاهحسینی، م. (۱۳۸۲). رسوبرشناسی بستر دریاچه ارومیه در بخش میانی بزرگراه شهید کلانتری با نگرشی بر منبع رسوبات، پایان نامه کارشناسی ارشد، به راهنمایی عبدالحسین امینی، دانشکده علوم، دانشگاه تهران.
- عزیزی، ق؛ اکبری، ط؛ هاشمی، ح؛ یمانی، م؛ مقصودی، م. و جنناب، ع. (۱۳۹۲). تحلیل پالینولوژیکی رسوبات دریاچه نور به منظور بازسازی فازهای رطوبتی درینه دریاچه نور در اوخر پلئیستوسن و اوایل هولوسن، پژوهش‌های جغرافیایی طبیعی، ۱: ۲۰ - ۱.
- قلیپور، ع. و سنبلي، ع. (۱۳۹۲). بازتابی گونه *Acorus calamus* از خانواده Acoraceae در ایران، مجله تاکسونومی و بیوسیستماتیک، ۵(۱): ۱۱۳ - ۱۱۶.
- مصطفیان، و. (۱۳۸۷). فلور ایران: تیره کاسنی (Compositae): قبیله‌های Echinopeae و Anthemideae در: اسدی، م؛ معصومی، ع؛ مظفریان، و. (وبراستاران)، مؤسسه تحقیقات جنگل‌ها و مراتج، ش ۵۹.
- Akhani, H. (2004). Halophytic vegetation of Iran: towards a syntaxonomical classification, *Annali di botanica*, 4: 65-82.
- Akhani, H. and Ghorbanli, M. (1993). A contribution to the halophytic vegetation and flora of Iran, 1: 35-44, In: Lieth, H. and AL Masoom, A.Ahmed.(Ed.), Towards the rational use of high salinity tolerant plants, Springer Netherlands, 519 p.
- Azizi, Gh.; Akbari, T.; Hashemi, H.; Yamani, M.; Magsudi, M. and Abasi Jaghnab, A. (2013). Palynological analysis of lake sediments to reconstruct lake Nour in the late Pleistocene and early Holocene phases of standing water, *Physical Geography Research Quarterly*, 1: 1-20 (In Persian).
- Beug, H.J. (2004). *Leitfaden der Pollen bestimmung für Mitteleuropa und Angrenzende Gebiete*, Verlag Dr. Friedrich Pfeil Publications, Germany, 542 p.
- Blaauw, M. and Christen, A. (2011). Flexible paleoclimate age-depth models using an autoregressive gamma process, *Bayesian Analysis*, 6(3): 457-474.
- Bottema, S. (1986). A late Quaternary pollen diagram from Lake Urmia (northwestern Iran), *Review of Palaeobotany and Palynology*, 47: 241-61.
- Bradley, R.S.; Briffa, K.R.; Cole, J.E.; Hughes, M.K. and Osborn, T.J. (2003). The climate of the last millennium, In: Alverson, K.D., Bradley, R.S. and Pedersen, T.F., editors, *Paleoclimate, global change and the future*, Springer-Verlag, 105-41.
- Djamali, M.; de Beaulieu, J.L.; Shah-Hosseini, M.; Andrieu-Ponel, V.; Amini, A.; Akhani, H.; Leroy, S.A.G.; Stevens, L.; Alizadeh, H.; Ponel, P. and Brewer, S. (2008). A late Pleistocene long pollen record from Lake Urmia, NW Iran, *Quaternary Research*, 69: 413-420.
- Djamali, M.; de Beaulieu, J.L.; Andrieu-Ponel, V.; Berberian, M.; Miller, N.; Gandouin, E.; Lahijani, H.; Shah-Hosseini; M., Ponel; P., Salimian; M. and Guiter, F. (2009a). A late Holocene pollen record from Lake Almalou in NW Iran, evidence for changing land-use in relation to some historical events during the last 3700 years, *Journal of Archaeological Science*, 36: 1364-1375.
- Djamali, M.; de Beaulieu, J.L.; Miller, N.; Andrieu-Ponel, V.; Lak, R.; Sadeddin, M.; Akhani, H.; Fazeli, H. (2009b). Vegetation history of the SE section of Zagros Mountains during the last five millennia; a pollen record from the Maharlou Lake, Fars Province, Iran, *Vegetation History and Archaeobotany*, 18: 123-136.
- El-Moslimany, A.P. (1990). Ecological significance of common nonarboreal pollen: examples from drylands of the Middle East, *Review of Palaeobotany and Palynology*, 64: 343-350.
- Fægri, K. and Iversen, J. (1989). *Textbook of pollen analysis* (revised by Fægri, K., Kaland, P.E. and Krzywinski, K.), John Wiley and Sons, 328 P.

- Grimm, E.C. (2011-2015). Tilia ver. 2.0.41.
- Gholipour, A. and Sonboli, A. (2013). Rediscovery of *Acorus calamus* (Acoraceae) in Iran, *Taxonomy and Biosystematics*, 5(15): 113-116 (**In Persian**).
- Herzschuh, U. (2007). Reliability of pollen ratios for environmental reconstructions on the Tibetan Plateau, *Journal of Biogeography*, 34(7): 1265-1273.
- Joosten, H. and de Clarke, P. (2002). Wise use of mires and peatlands, background and principles including a framework for decision-making, *International Mire Conservation Group and International Peat Society*, PP. 6-24.
- Kaniewski, D.; Van Campo, E.; Paulissen, E.; Weiss, H.; Bakker, J.; Rossignol, I. and Van Lerberghe, K. (2011). The medieval climate anomaly and the little Ice Age in coastal Syria inferred from pollen-derived palaeoclimatic patterns, *Global and Planetary Change*, 78: 178-187.
- Khakpour Saej, M.; Ramezani, E.; Siyab Ghodsy, A.A.; Zare, H. and Joosten, H. (2013). Palynological reconstruction of 1500 years of vegetation history of Veisar (N Iran), *Rostaniha*, 14(2): 135-148 (**In Persian**).
- Moore, P.D.; Webb, J.A. and Collinson, M.E. (1991). *Pollen Analysis, Second Edition*, Blackwell Science Publishers, 216 P.
- Mozaffarian, V. (2008). Compositae: Anthemideae & Echinopeae, In: Assadi, M., Maassoumi, A. & Mozaffarian, V. Flora of Iran, No. 59, *Research Institute of Forests and Rangelands Publication* (**In Persian**).
- Neumann, F.H.; Kagan, E.J.; Schwab, M.J. and Stein, M. (2007). Palynology, sedimentology and palaeoecology of the late Holocene Dead Sea, *Quaternary Science Reviews*, 26: 1476-1498.
- Ortu, E.; Peyron, O.; Bordon, A.; de Beaulieu, J.L.; Siniscalco, C. and Caramiello, R. (2008). Lateglacial and Holocene climate oscillations in the South-western Alps: an attempt at quantitative reconstruction, *Quaternary International*, 190(1): 71-88.
- Ponel, P.; Andrieu-ponel, V.; Djamali, M.; Lahijani, H.; Leydet, M. and Mashkour, M. (2013). Fossil beetles as possible evidence for transhumance during the middle and late Holocene in the high mountains of Talysh (Talesh) in NW Iran, *Journal of Environmental Archaeology*, 18(3): 201-210.
- Reimer, P.J.; Bard, E.; Bayliss, A.; Beck, J.W.; Blackwell, P.G.; Bronk Ramsey, C.; Grootes, P.M.; Guilderson, T.P.; Haflidason, H.; Hajdas, I.; HattŽ, C.; Heaton, T.J.; Hoffmann, D.L.; Hogg, A.G.; Hughen, K.A.; Kaiser, K.F.; Kromer, B.; Manning, S.W.; Niu, M.; Reimer, R.W.; Richards, D.A.; Scott, E.M.; Southon, J.R.; Staff, R.A.; Turney, C.S.M. and van der Plicht, J. (2013). IntCal13 and Marine13 radiocarbon age calibration curves 0-50,000 Years cal BP, *Radiocarbon*, 55(4).
- Roberts, J.; Moreno, A.; Valero-Garcés, B.L.; Pablo Corella, J.; Jones, M.; Allcock, S.; Woodbridge, J.; Morellón, M. and Luterbacher, J. (2012). Palaeolimnological evidence for an east-west climate see-saw in the Mediterranean since AD 900, *Global and Planetary Change*, 84: 23-34.
- Shah-Hosseini, M. (2003). Sedimentology of the Lake Urmia bottom sediments in the middle part of Shahid Kalantari Highway with a special reference to the source of sediments, Unpublished MSc thesis, University of Tehran, Tehran (**In Persian**).
- Talebi, T.; Ramezani, E.; Djamali, M.; Alizadeh Ketek Lahijani, H.; Naqinezhad, A.; Alizadeh, K. and Andrieu-Ponel, V. (2016). The Late-Holocene climate change, vegetation dynamics, lake-level changes and anthropogenic impacts in the Lake Urmia region, NW Iran, *Quaternary International*, 408: 40-51.
- The Plant List (2015). <http://www.theplantlist.org/>, last retrieved 2015/05/04.
- Van Zeist, W. and Bottema, S. (1977). Palynological investigations in Western Iran, *Palaeohistoria*, 19: 19-85.
- Van Zeist, W. and Wright, H.E. (1963). Preliminary pollen studies at Lake Zeribar, *Zagros Mountains, Southwestern Iran, Science*, 140: 65-67.
- Van Zeist, W. (2008). Late Pleistocene and Holocene vegetation at Zeribar, In: *The palaeoecology of Lake Zaribar and surrounding areas, western Iran, during the last 48,000 years*, Wasylkowa, K. and Witkowski, A. (Ed.), A.R.G Gantner Verlag K.G. 377 p.
- Woodbridge, J. and Roberts, N. (2011). Late Holocene climate of the Eastern Mediterranean inferred from diatom analysis of annually-laminated lake sediments, *Quaternary Science Reviews*, 30(23-24): 3381-3392.
- Zhao, Y.; Liu, H.; Li, F.; Huang, X.; Sun, J.; Zhao, W.; Herzschuh, U. and Tang, Y. (2012). Application and limitations of the Artemisia/Chenopodiaceae pollen ratio in arid and semi-arid China, *The Holocene*, 22(12): 1385-1392.
- Zohary, M. (1973). *Geobotanical foundations of the Middle East*, Gustav Fischer Verlag.